



Электричество и магнетизм

Лекция 16 Движение заряженных частиц в электромагнитном поле. Плазма

> 15 декабря 2021 года Лектор: доцент НИЯУ МИФИ, Ольчак Андрей Станиславович



Энергия электро-магнитного поля



Плотность энергии электромагнитного поля

$$w = w_{_{\mathfrak{I}\mathfrak{I}}} + w_{_{\mathrm{MA}\Gamma}} = \frac{\mathbf{E} \cdot \mathbf{D}}{2} + \frac{\mathbf{B} \cdot \mathbf{H}}{2}$$

Энергия электромагнитного поля

$$W = \int_{V} w dV = \int_{V} \frac{\left(\mathbf{E} \cdot \mathbf{D}\right)}{2} dV + \int_{V} \frac{\left(\mathbf{B} \cdot \mathbf{H}\right)}{2} dV$$



Уравнения Максвелла



Дж.К. Максвелл в 1859 г. сформулировал систему уравнений, исчерпывающим образом описывающих электрическое и магнитное поля (а вернее – единое электро-магнитное поле.

Уравнения Максвелла в локальной и интегральной форме

$$\begin{bmatrix} \nabla \times \mathbf{E} \end{bmatrix} = -\frac{\partial \mathbf{B}}{\partial t} \qquad (\nabla \cdot \mathbf{D}) = \rho_{\text{crop}}$$
$$\begin{bmatrix} \nabla \times \mathbf{H} \end{bmatrix} = \mathbf{j}_{\text{пров}} + \frac{\partial \mathbf{D}}{\partial t} \qquad (\nabla \cdot \mathbf{B}) = 0$$

$$\oint_{\Gamma} \mathbf{E} \cdot d\mathbf{l} = -\frac{d}{dt} \int_{S} \mathbf{B} \cdot d\mathbf{S} \qquad \oint_{S} \mathbf{D} \cdot d\mathbf{S} = \int_{V} \rho_{\text{crop}} dV \qquad \text{J.C. Maxwell}$$

$$\oint_{\Gamma} \mathbf{B} \cdot d\mathbf{S} = 0 \qquad \oint_{\Gamma} \mathbf{H} \cdot d\mathbf{l} = \int_{\Gamma} \mathbf{j}_{\text{npoB}} \cdot d\mathbf{S} + \frac{d}{dt} \int_{S} \mathbf{D} \cdot d\mathbf{S}$$





Уравнения Максвелла



Свойства уравнений Максвелла

- 1. Уравнения выполняются во всех инерциальных системах от счёта. (являются релятивистски инвариантными).
- 2. Уравнения линейные —> отражение *принципа суперпозиции* для магнитных и электрических полей.
- 3. Уравнения содержат все известные законы электродинамики: закон Кулона, закон Био-Савара-Лапласа, уравнение непрерывности и т.п.
- 4. Уравнения не симмметричны относительно векторов Е и В.
- 5. Из уравнений Максвелла следует возможность существования и распространения электромагнитных волн в вакууме.



Уравнения Максвелла



Уравнения Максвелла в среде без зарядов и токов

div
$$\mathbf{D} = \operatorname{div} \mathbf{E} = 0$$
 rot $\mathbf{E} = -\partial \mathbf{B}/\partial t$
div $\mathbf{B} = 0$ rot $\mathbf{H} = \operatorname{rot} \mathbf{B}/\mu_0 \mu = -\partial \mathbf{D}/\partial t = -\varepsilon_0 \varepsilon \partial \mathbf{E}/\partial t =>$
rot $\mathbf{B} = -\mu_0 \mu \varepsilon_0 \varepsilon \partial \mathbf{E}/\partial t =>$
 $-\partial (\operatorname{rot} \mathbf{B})/\partial t = \mu_0 \mu \varepsilon_0 \varepsilon \partial^2 \mathbf{E}/\partial t^2 = \operatorname{rot} \operatorname{rot} \mathbf{E} = \Delta \mathbf{E} =>$

$$\partial^2 \mathbf{E}/\partial t^2 = c^2 \Delta \mathbf{E} = \partial^2 \mathbf{B}/\partial t^2 = c^2 \Delta \mathbf{B}$$

Решение: волна (например, $E = E_0 \cos(\omega(t-x/c))$) способная существовать и распространяться и в среде, и в пустоте, причем со скоростью света!!

$$c = 1/\left(\mu_0 \mu \varepsilon_0 \varepsilon\right)^{1/2} = c_0/(\mu \varepsilon)^{1/2} = c_0/\sqrt{\varepsilon}$$

Подробнее об ЭМ-волнах – в следующем семестре

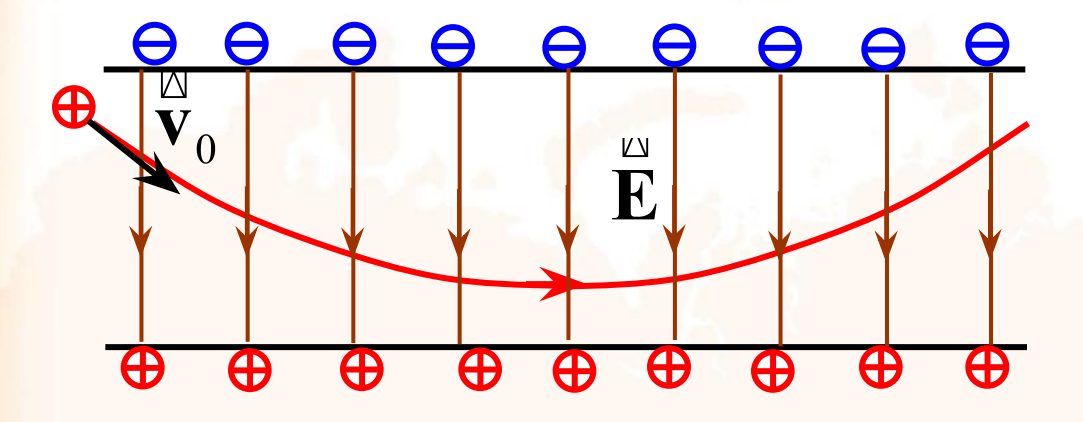




Движение зарядов в электромагнитном поле



Движение зарядов в однородных полях



Уравнение движения

заряда: $m \frac{d\mathbf{v}}{dt} = q\mathbf{E}$

$$\Rightarrow d\mathbf{v} = \frac{q\mathbf{E}}{m}dt,$$

$$\mathbf{v} = \mathbf{v}_0 + \frac{q\mathbf{E}}{m}t,$$

$$\Rightarrow d\mathbf{v} = \frac{q\mathbf{E}}{m}dt, \qquad \mathbf{v} = \mathbf{v}_0 + \frac{q\mathbf{E}}{m}t, \qquad \mathbf{r} = \mathbf{r}_0 + \mathbf{v}_0t + \frac{q\mathbf{E}}{2m}t^2.$$

Траектория — парабола, лежащая в плоскости векторов \mathbf{v}_0 и \mathbf{E} . Очевидна аналогия с движением под действием ускорения свободного падения: $\mathbf{g} \to q\mathbf{E}/m$.

$$\mathbf{g} \rightarrow q\mathbf{E}/m$$
.





Разгон заряженных частиц электрическим полем до высоких энергий используют в т.н. ускорителях прямого действия. Пример: электростатический генератор Ван дер Граффа. Ток пучка на УВдГ может достигать нескольких миллиампер. Однако, в таких ускорителях трудно обеспечить энергию частиц больше 40-50 МэВ для протонов и для достижения ещё больших энергий используют линейные ускорители.

Большие энергии — другая механика! $dP/dt = eE = eU/L \quad P = mv\gamma = mv(1-v^2/c^2)^{-1/2}$ $P^2 = (eUt/L)^2 = E_r^2/c^2 - m^2c^2 = >$ $E_r^2 \sim = m^2c^4 + (eU)^2$

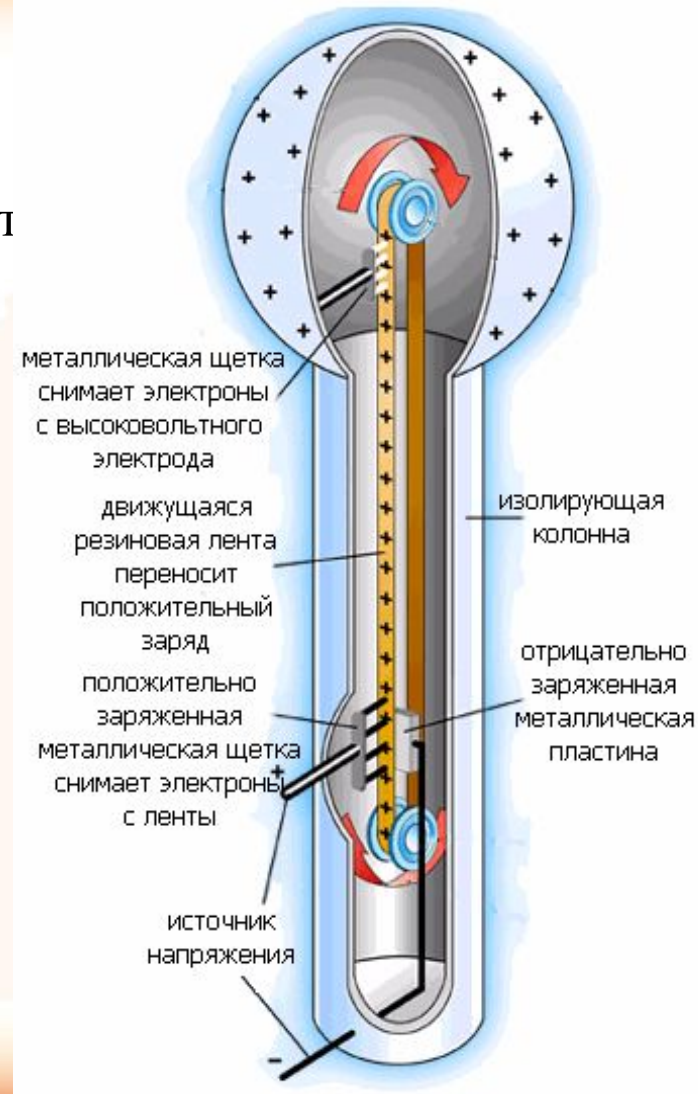
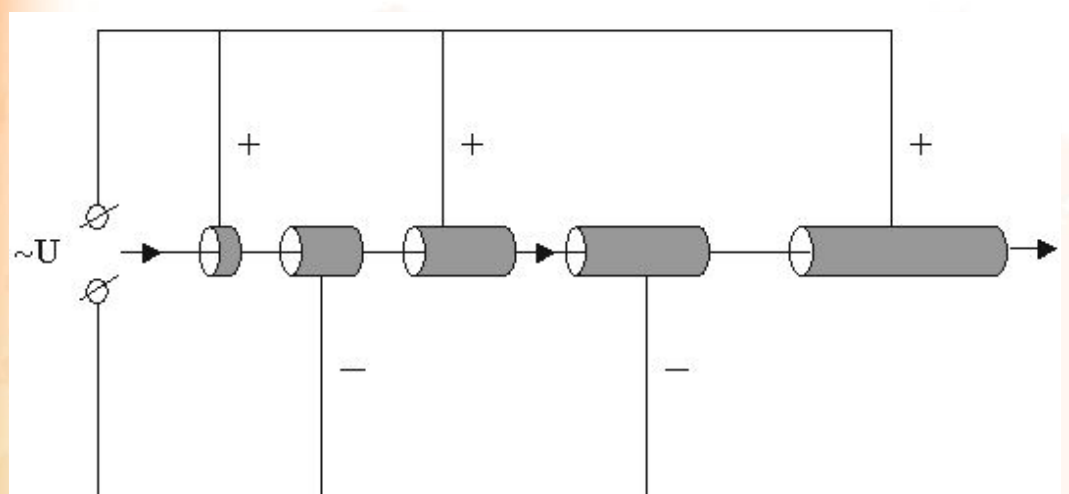






Схема линейного ускорителя



В линейных ускорителях частица подвергается многократному ускорению, пролетая сквозь ряд цилиндрических трубок, присоединенных к электрическому генератору высокой частоты.

Внутри каждой трубки электрическое поле равно нулю. Соседние трубки имеют противоположную полярность. Таким образом, ускорительное поле находится в зазорах между трубками. Частота генератора и размеры трубок подбираются так, чтобы сгусток ускоряемых частиц подходил к очередному зазору в тот момент, когда полярность трубок изменяется на противоположную.



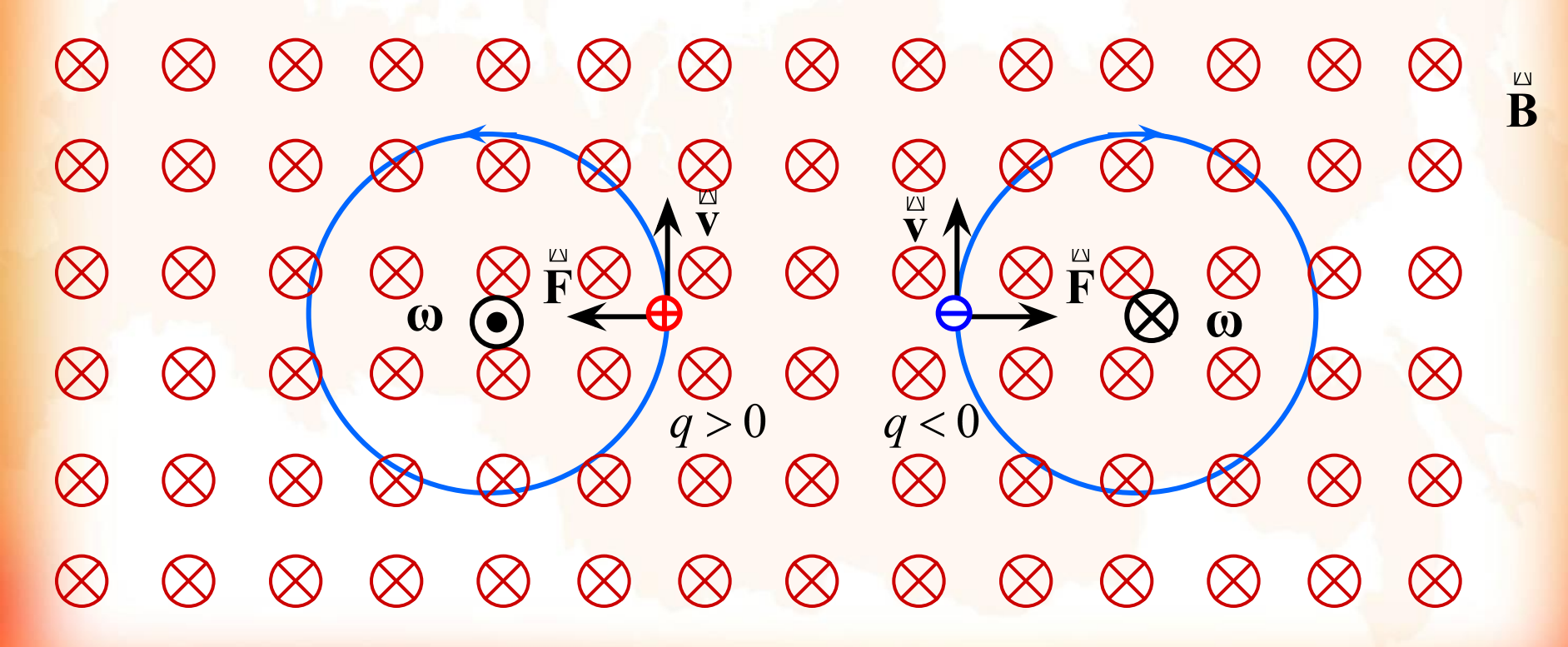




Стэнфордский линейный ускоритель (SLAC.) Он работал в период 1989-1998 гг., имел длину около 3 км и ускорял как электроны, так и позитроны до энергии 50 ГэВ.

Магнитная сила $\mathbf{F} = q \begin{bmatrix} \mathbf{v}, \mathbf{B} \end{bmatrix}$ по определению перпендикулярна скорости частицы и поэтому не совершает работы. Следовательно v=const.

1). Скорость частицы перпендикулярна вектору индукции магнитного поля



Движение зарядов в однородных полях

Магнитная сила сообщает заряду только нормальное ускорение. Траектория движения окружность, лежащая в плоскости, перпендикулярной вектору В. Релятивистский импульс частицы направлен по касательной к траектории

Движение зарядов в однородных полях

$$\Rightarrow q \begin{bmatrix} \mathbf{v}, \mathbf{B} \end{bmatrix} = m \mathbf{v} \gamma \omega \mathbf{n}, \qquad \mathbf{n}: \quad |q| \mathbf{v} B = m \mathbf{v} \gamma \omega,$$

$$\Rightarrow$$
 $\left| \stackrel{\mathbb{M}}{\mathbf{\omega}} \right| = -\frac{q \stackrel{\mathbb{M}}{\mathbf{B}}}{m \gamma} \right|$ — циклотронная частота. $R = \frac{\mathbf{v}}{\omega} = \frac{m \mathbf{v} \gamma}{|q| B}$

Если
$$v \ll c \implies \gamma = 1$$

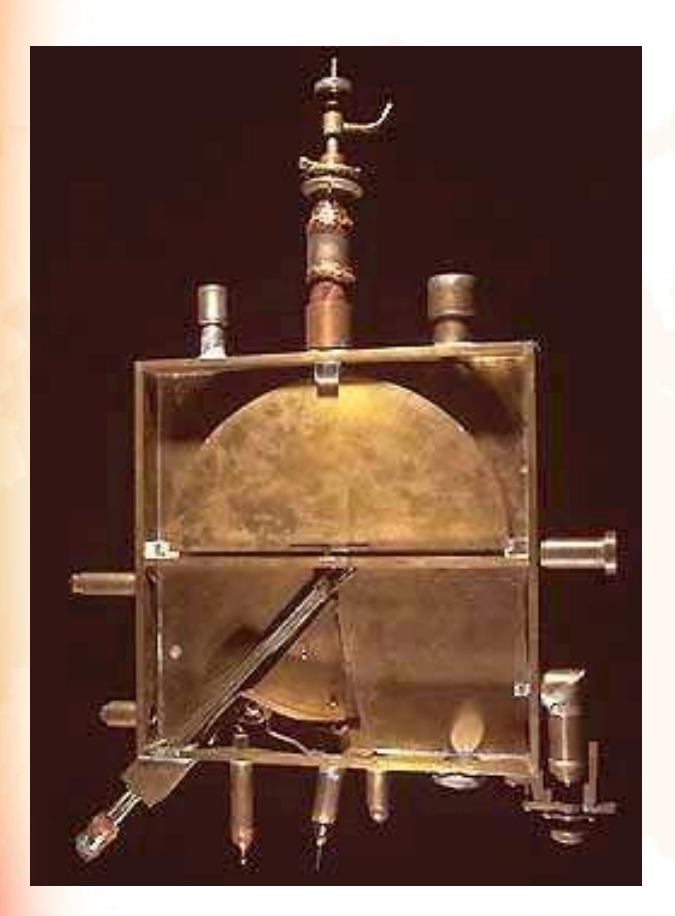
В нерелятивистском пределе циклотронная частота не зависит от скорости частицы.

$$\mathbf{\omega} = -\frac{q\mathbf{B}}{m} \qquad R = \frac{m\mathbf{V}}{|q|B}$$





Циклотрон



Это циклический резонансный ускоритель тяжёлых частиц (протонов, ионов).

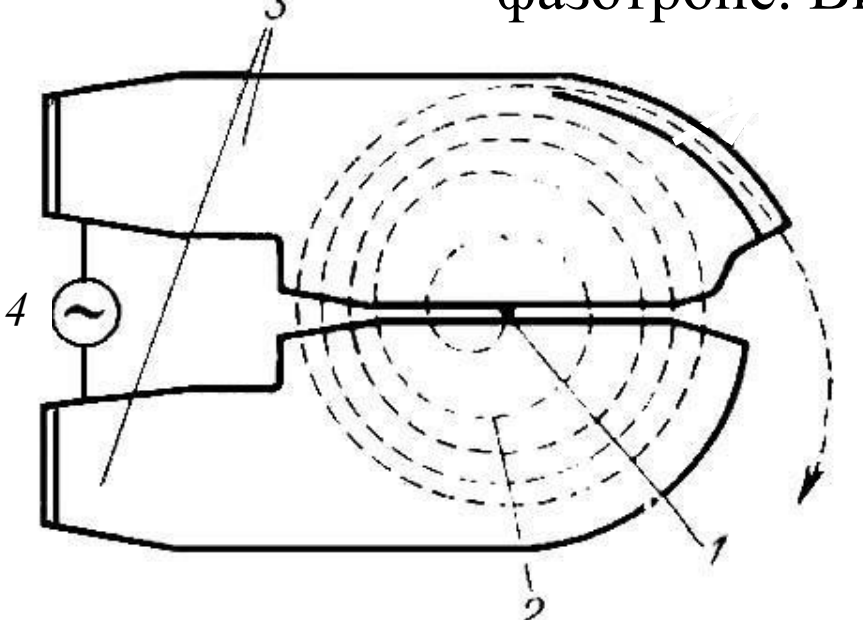
В 1930 году Э. Лоуренсом (США) был создан первый— *циклотрон* на энергию протонов 1 МэВ (его диаметр был 25 см).

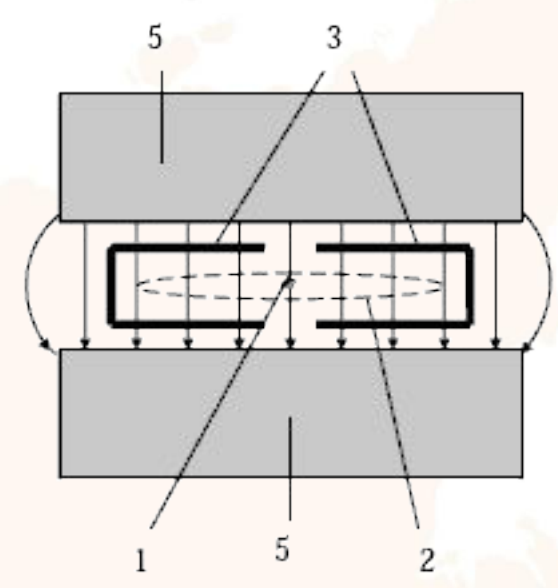
Первая работающая модель циклотрона





Схема движения частиц в циклотроне и фазотроне. Вид сверху и сбоку

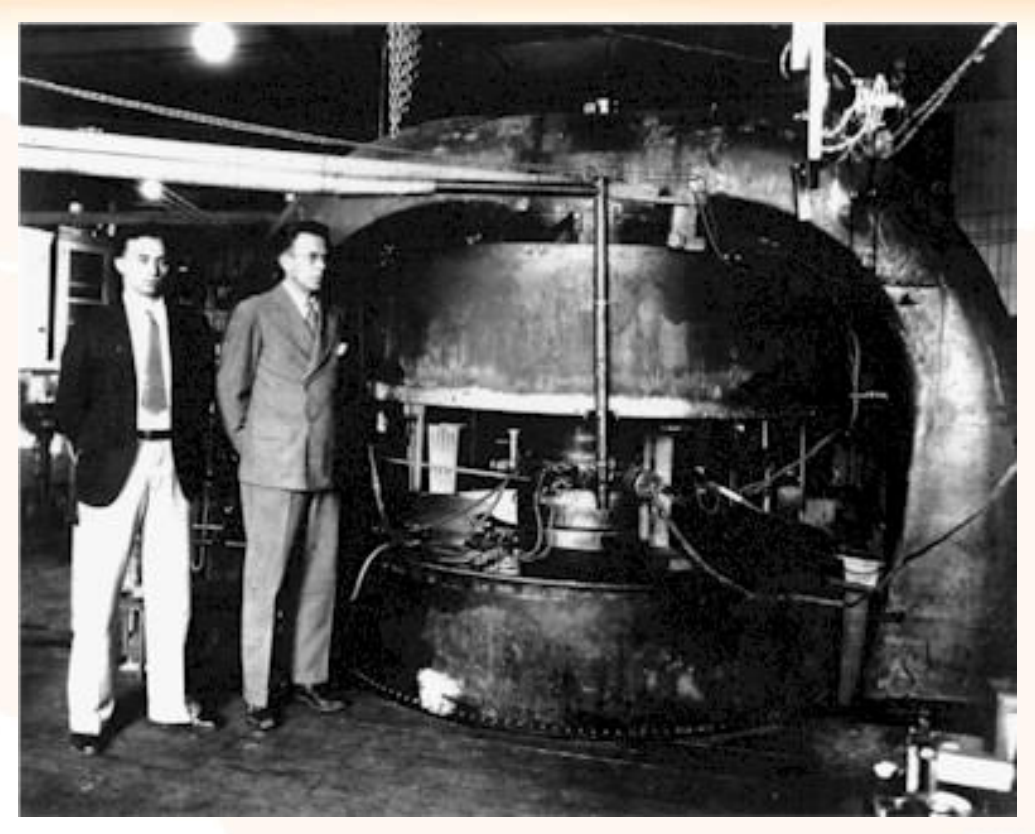




Тяжелые заряженные частицы попадают в камеру из инжектора 1 вблизи центра камеры и движутся в постоянном магнитном поле, направленном перпендикулярно плоскости движения частиц, по раскручивающейся спирали 2. В зазоре между дуантами частицы ускоряются импульсным электрическим полем Частота изменения переменного напряжения 4, приложенного к дуантам 3 равно циклотронной частоте частиц.







С. Ливингстоун и Э. Лоуренс у 27-дюймового циклотрона, который использовался в экспериментальных исследованиях ядерных реакций и искусственной радиоактивности





Бетатрон

Бетатрон — это циклический ускоритель, в котором ускорение заряженных частиц производится вихревым электрическим полем, которое создаётся переменным магнитным полем. Ускоренные частицы движутся по кругу в специальных вакуумных камерах. Первый бетатрон создал Д.У. Керст в 1940 г.



Д. Керст возле своих бетатронов, маленький - на 2.3 МэВ, большой - на 25 МэВ





Ускоритель
заряженных частиц
в Европейском
Центре ядерных
исследований
(ЦЕРН).

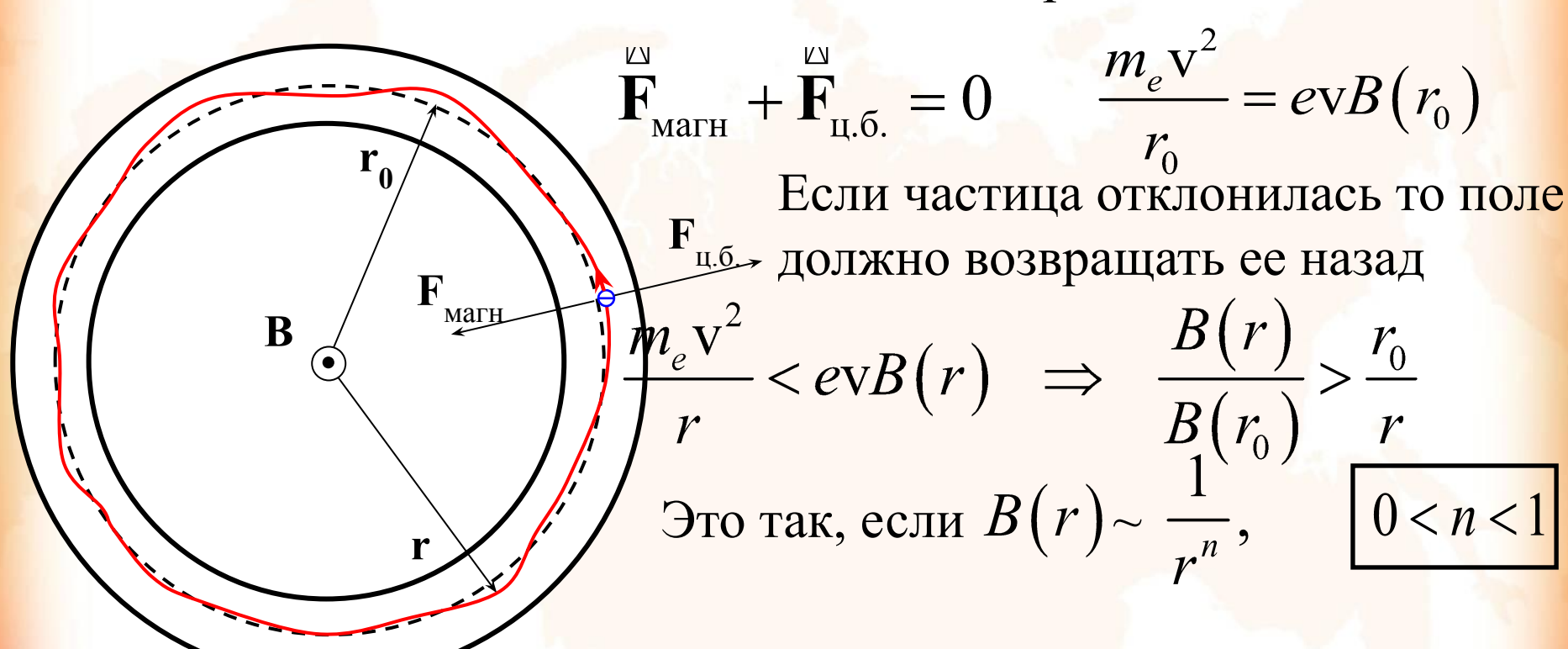






Условия радиальной фокусировки

Условие равновесия частицы в неинерциальной СО







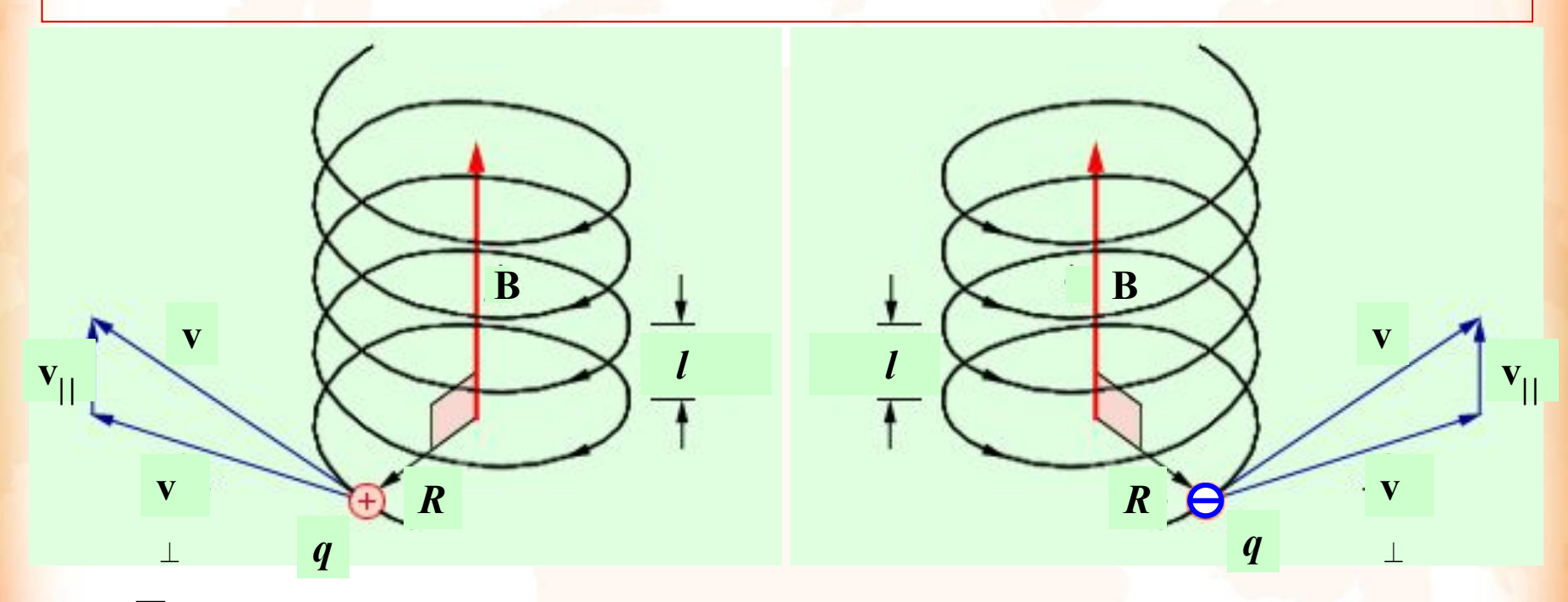


Большой адронный коллайдер (англ. Large Hadron Collider, LHC; cokp. БАК) — ускоритель заряженных частиц на встречных пучках, предназначенный для разгона протонов и тяжёлых ионов (ионов свинца) и изучения продуктов их соударений. Коллайдер построен в научно-исследовательском центре Европейского совета ядерных исследований (ЦЕРН), на границе Швейцарии и Франции, недалеко от Женевы.



Большим назван из-за своих размеров: длина основного кольца ускорителя составляет 26 659 м; адронным — из-за того, что он ускоряет адроны, то есть частицы, состоящие из кварков.

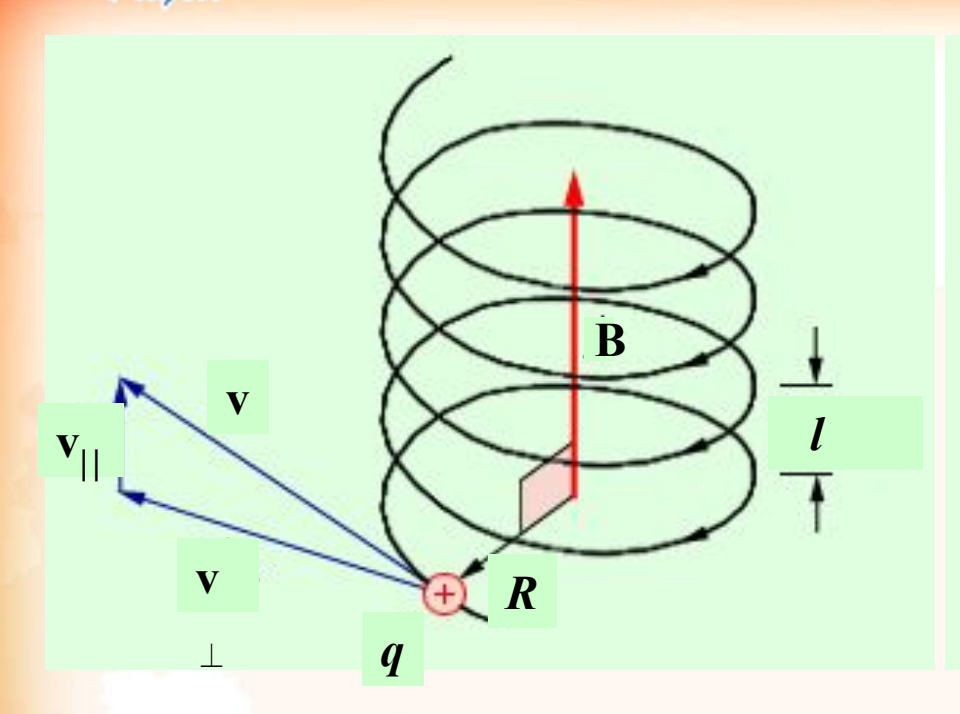
2). Скорость частицы не перпендикулярна вектору индукции магнитного поля

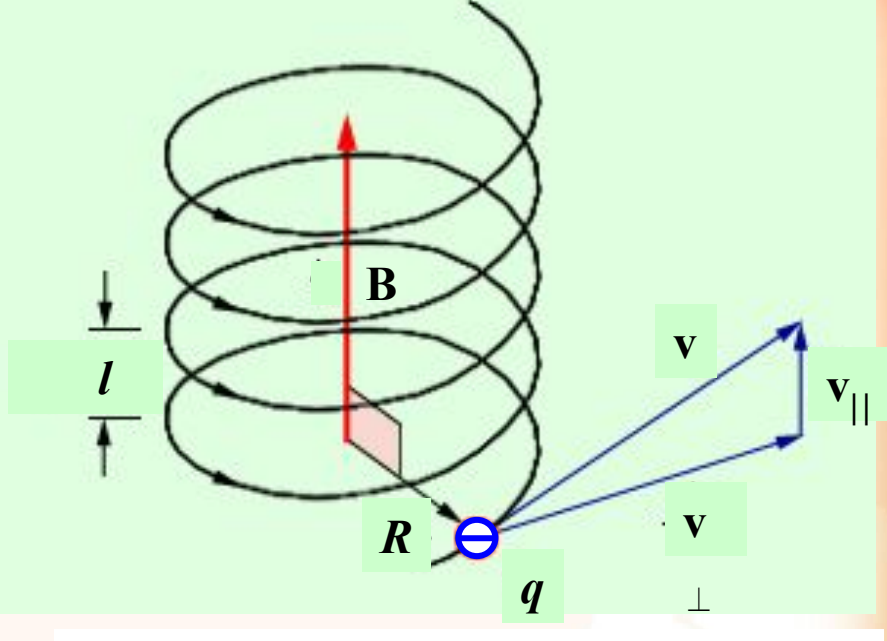


Траектория – левая или правая спираль в зависимости от знака заряда частицы



Движение зарядов в однородных полях





$$\vec{\mathbf{v}} = \vec{\mathbf{v}}_{\parallel} + \vec{\mathbf{v}}_{\perp}, \quad \vec{\mathbf{v}}_{\parallel} \parallel \vec{\mathbf{B}}, \quad \vec{\mathbf{v}}_{\perp} \perp \vec{\mathbf{B}}. \quad \vec{\mathbf{F}} = q \left[\vec{\mathbf{v}}_{\perp}, \vec{\mathbf{B}} \right] \implies R = \frac{m \mathbf{v}_{\perp} \gamma}{|q| B}$$

$$l = \mathbf{v}_{\parallel} T = \mathbf{v}_{\parallel} \frac{2\pi}{\omega} = \frac{2\pi \mathbf{v}_{\parallel} m \gamma}{|q| B}$$



Движение зарядов в однородных полях



Движение заряженных частиц, захваченных магнитным полем Земли





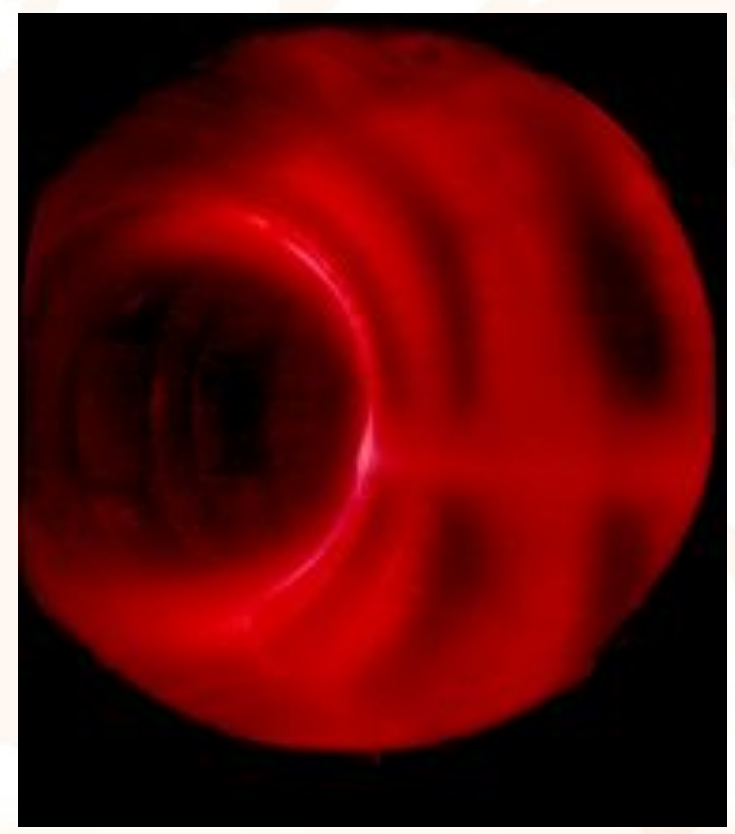
Плазма.





Плазма = частично или полностью ионизованный газ = среда, состоящая из хаотически движущихся заряженных частиц

При сильном нагревании газа происходит диссоциация (распад) молекул на атомы. Дальнейший рост температуры приводит к ионизации = отрыву электронов от атомов с образованием ионов.



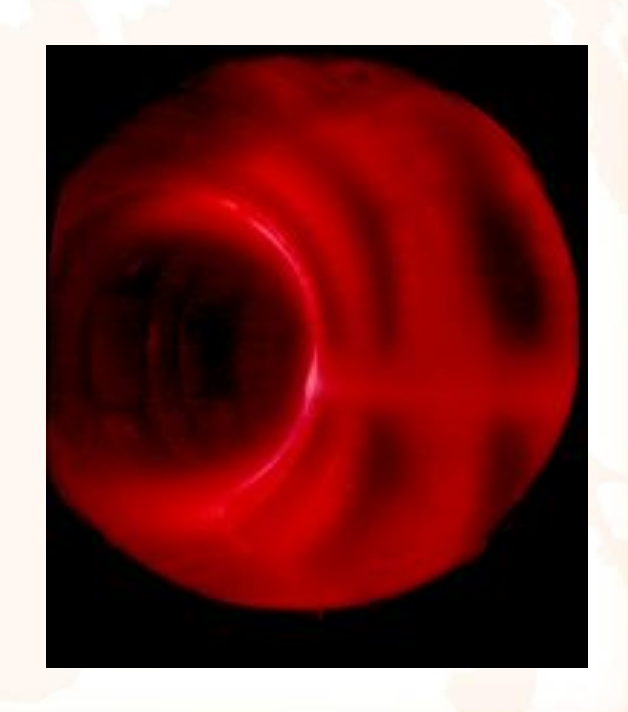




КВАЗИНЕЙТРАЛЬНОСТЬ ПЛАЗМЫ = электрическая нейтральность плазмы в среднем, в достаточно больших объёмах или за достаточно большие времена, т.е. $\langle \rho \rangle \approx 0$.

Степень ионизации плазмы: $\alpha = n_{ion}/n$, где n_{ion} и n — концентрации ионизованных и всех молекул.

Плазма называется низкотемпературной при $T \le 10^5$ К. Если $T \ge 10^6$ - 10^8 К, то плазма называется высокотемпературной.







В состоянии плазмы находится большая часть вещества Вселенной — звёзды, звёздные атмосферы, галактические туманности и межзвёздная среда.



Концентрация плазмы меняется в широких пределах: от $n \sim 10^{-6}$ см⁻³ в межгалактическом пространстве до $n \sim 10^{22}$ см⁻³ в твёрдых телах.

Струи солнечной плазмы движутся по дугам вдоль силовых линий магнитного поля. Фото: NASA/TRACE





Свойства плазмы:

- Кулоновское взаимодействие частиц плазмы распространяется на большие расстояния, поэтому взаимодействие частиц является коллективным, а не парным как у молекул обычного газа.
- Электрические и магнитные поля очень сильно влияют на плазму, вызывая появление в ней электрических токов, объёмных зарядов и ряд других специфических свойств.
- Плазма проводит электрический ток.
- Приближённо плазму можно рассматривать как идеально проводящую несжимаемую жидкость, если скорости направленного движения частиц плазмы намного меньше скорости звука в плазме



Дебаевский радиус экранирования



Электростатическое экранирование: Потенциал заряда в плазме имеет вид:

$$\varphi = \frac{q}{4\pi\varepsilon_0 r} \exp\left(-\frac{r}{r_D}\right)$$

$$\Rightarrow r_D \sim \sqrt{\frac{kT\varepsilon_0}{ne^2}}$$

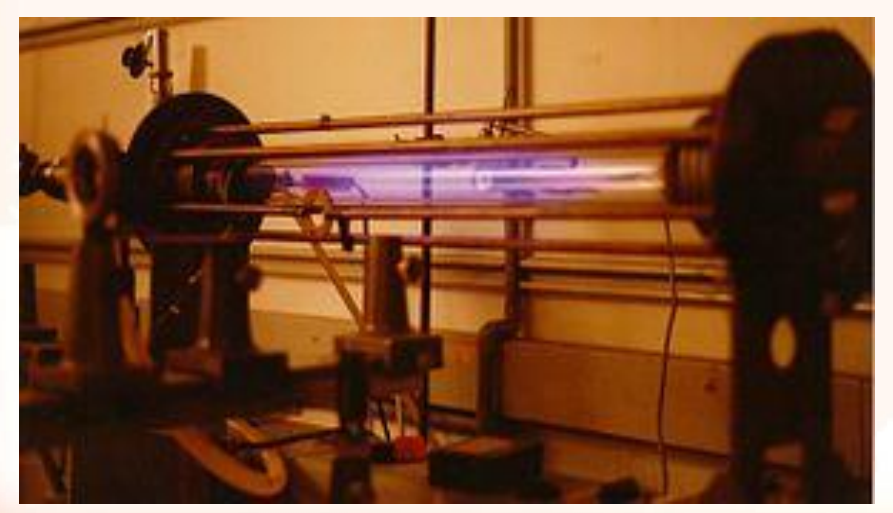


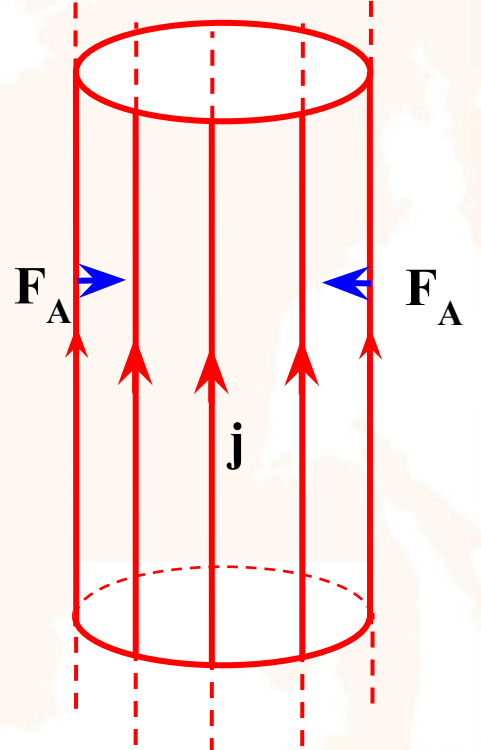
Пинч-эффект



Ток в проводящей среде имеет свойство уменьшать своё сечение под действием собственного, порождаемого самим током, магнитного поля.

Z-пинч- эффект — это следствие закона Ампера о магнитном притяжении отдельных параллельных токовых струй.



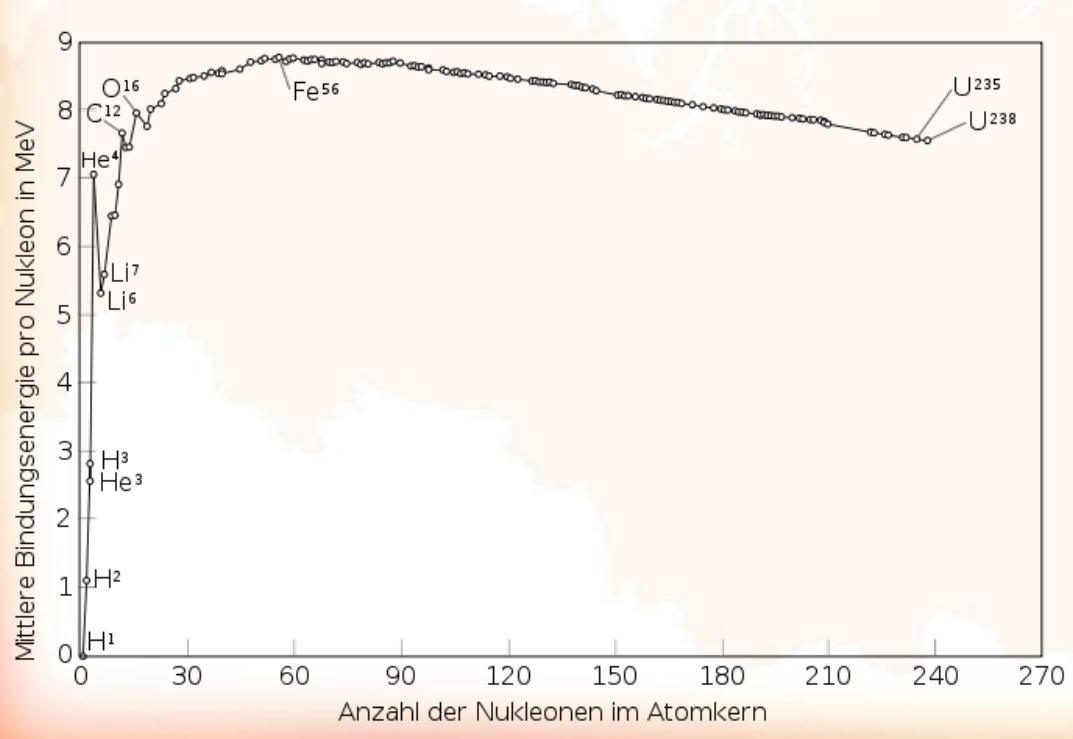


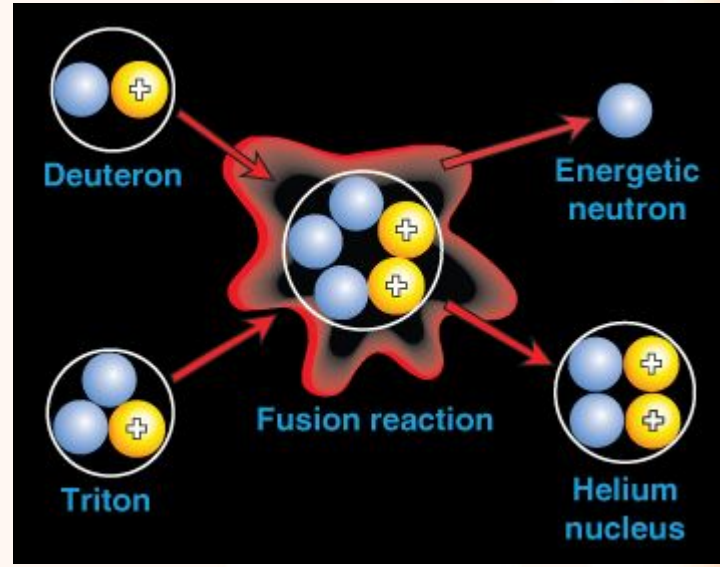
Лабораторная установка для газовых разрядов. Z-пинч в водороде.





Управляемый термоядерный синтез (УТС) — это синтез более тяжёлых атомных ядер из более лёгких при высоких температурах с целью получения энергии, который носит управляемый характер.









Управляемый термоядерный синтез (УТС) — это синтез более тяжёлых атомных ядер из более лёгких при высоких температурах с целью получения энергии, который носит управляемый характер.

В 1950-ые гг в СССР и США была предложена идея магнитной термоизоляции плазмы для осуществления УТС.

В основе идеи – сжатие плазменного жгута за счет пинч-эффекта



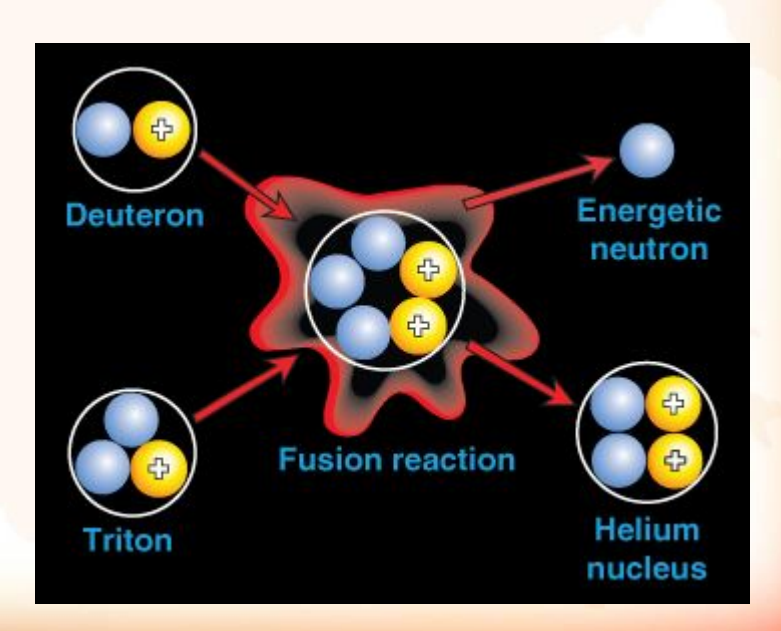
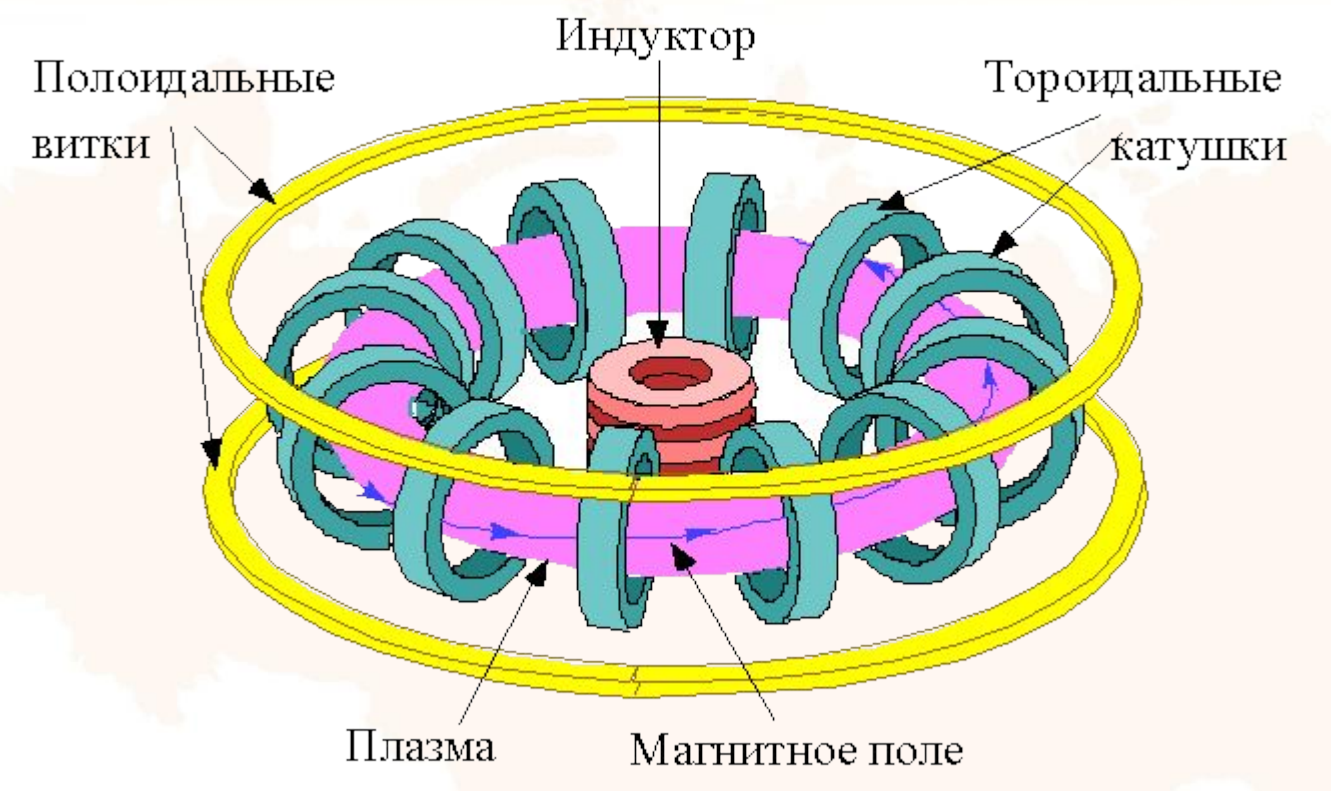






Схема тороидальной камеры с магнитной катушкой (ТОКАМАК).

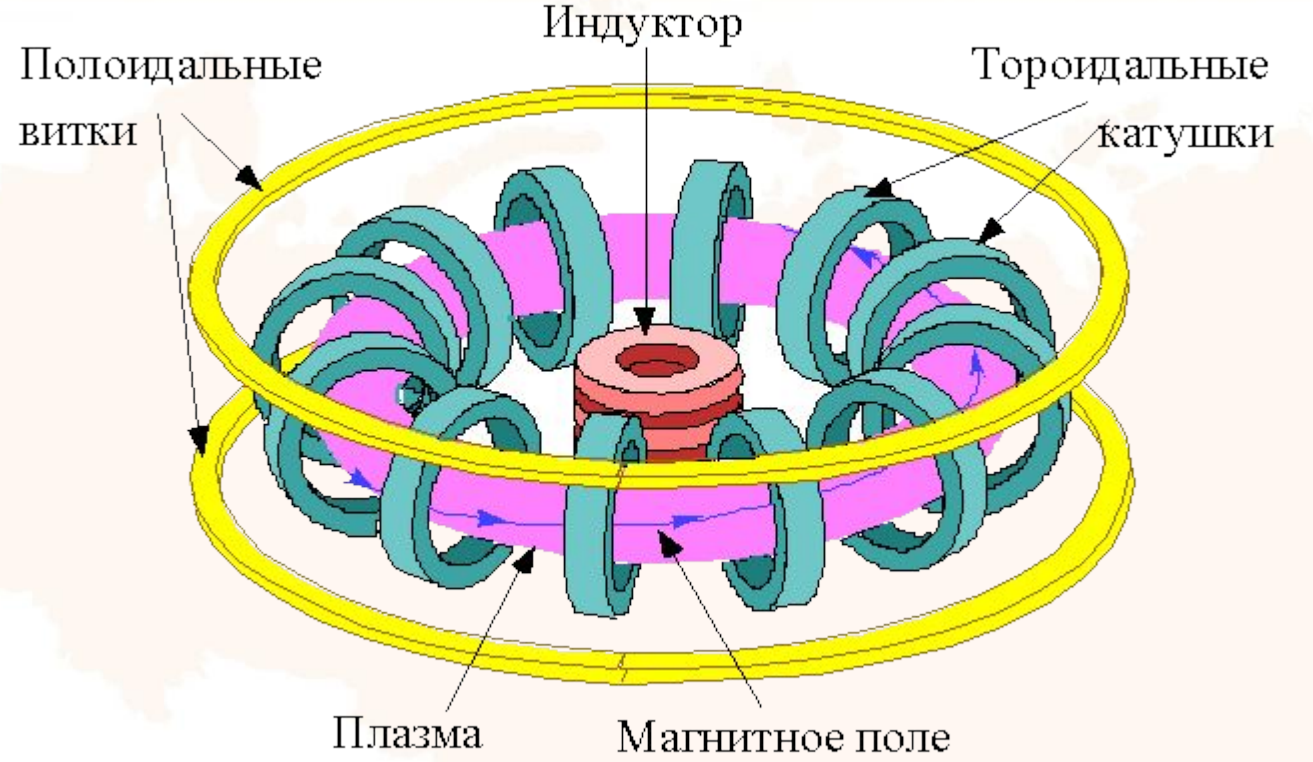


С помощью индуктора в камере создают вихревое электрическое поле. Протекающий через плазму ток нагревает её и создаёт магнитное поле, которое сжимает протекающий через плазму ток.





Схема тороидальной камеры с магнитной катушкой (ТОКАМАК).

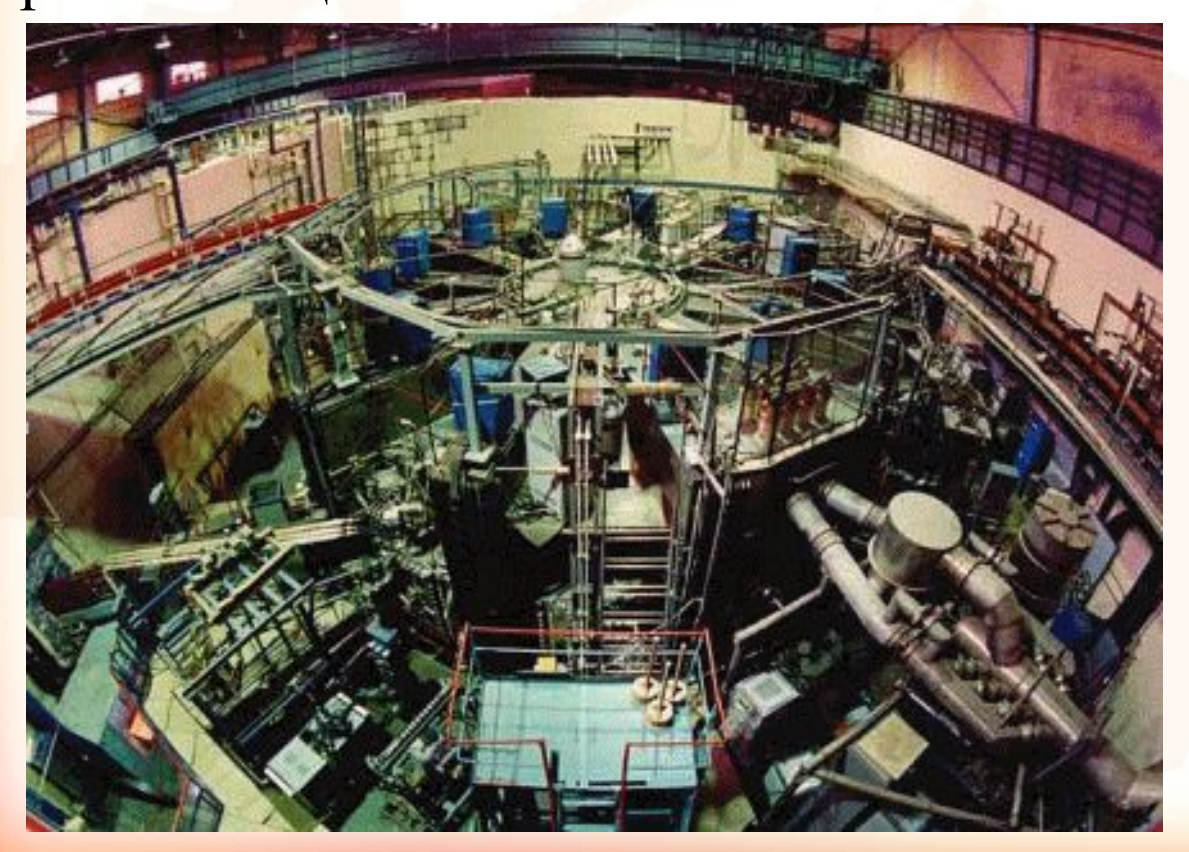


Тороидальные катушки создают продольное магнитное поле (вдоль оси тора), которое препятствует смещению плазменного шнура. Магнитное поле, создаваемое полоидальными витками, противодействует силе, направленной по большому радиусу тора.





На Токамаках второго поколения были получены внушительные параметры плазмы: температура $8 \cdot 10^7$ K, плотности плазмы превышающие 10^{20} м⁻³.

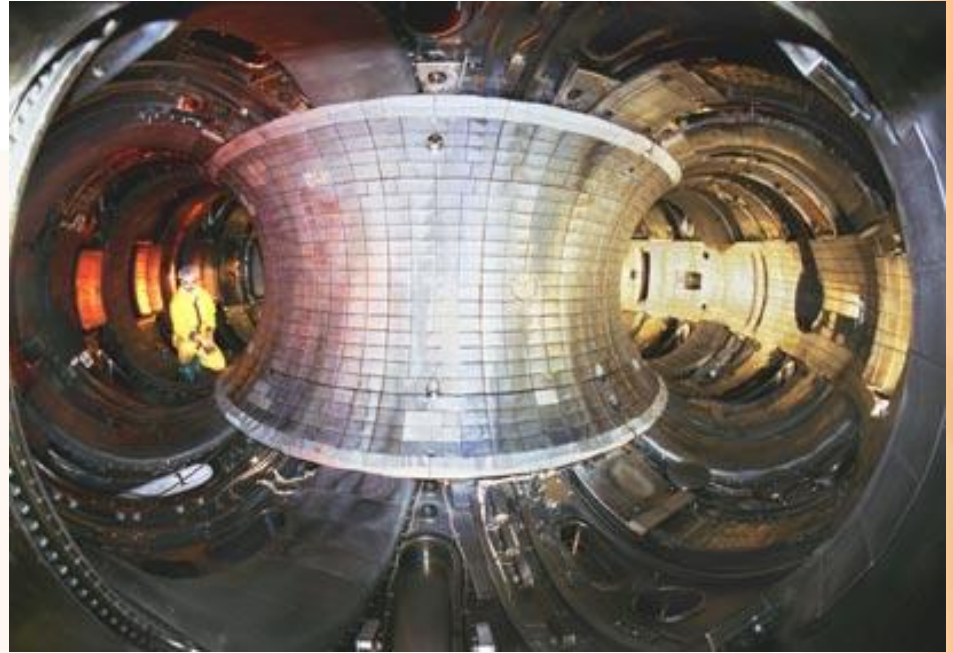


Токамак Т-15, введен в строй в 1988 году, в настоящее время работы на нем приостановлены.









Лоуренсовские лаборатории, США, Tokamak Fusion Test Reactor (TFTR)





Неустойчивости плазмы проявляются как самопроизвольные отклонения от невозмущённого квазистационарного состояния плазмы.

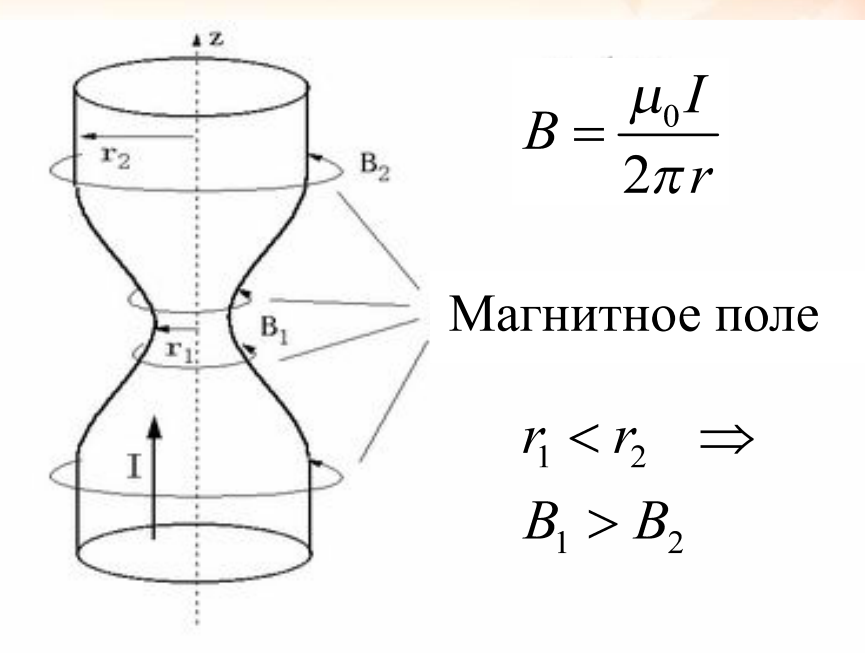
Различают различного вида неустойчивости: магнитогидродинамические, пучковые, токовые, дрейфовые, кинетические, параметрические, диссипативные, разрывные и другие.





Желобковая неустойчивость.

Если в каком-либо сечении плазма сожмётся так, что радиус пинча r_1 станет меньше, чем радиус r_2 соседней области, то магнитное поле в этом сечении пинча повысится.



Увеличивающееся магнитное поле сильнее сожмёт плазму пинча в области перетяжки и температура там повысится. Высокое давление плазмы в перетяжке приводит к вытеканию плазмы из перетяжки в осевом направлении. Это приводит к дальнейшему повышению температуры плазмы в перетяжках.





Изгибная (шланговая) неустойчивость.

На внутренней стороне изгиба силовые линии магнитного поля сгущаются, усиливая магнитное давление, что приводит к увеличению изгиба шнура.





Термоядерный синтез







ITER (International Thermonuclear Experimental Reactor, ИТЭР) Задача ИТЭР заключается в демонстрации возможности коммерческого использования термоядерного реактора и решении физических и технологических проблем, которые могут встретиться на этом пути.

ЕС, США, Россия, Китай, Япония, Корея, Индия



Дистанционный курс общей физики НИЯУ МИФИ



Спасибо за внимание! Успеха на экзаменах!

Следующая лекция В следующем семестре!





Обзор

1. Электростатика

- Линии напряженности электрического поля и эквипотенциальные поверхности.
- Связь между напряженностью и потенциалом.
- Поле вне и внутри объемно заряженного шара.
- Работа силы электрического поля. Потенциал.
- Дипольный электрический момент системы зарядов.
- Поле электрического диполя.
- Электрический диполь в однородном и неоднородном поле (вращательный момент, энергия, сила).
- Энергия электрического поля. Плотность энергии.





Обзор

2. Проводники в электрическом поле. Конденсаторы.

- Электрическое поле одной и двух заряженных плоскостей.
- Электроемкость. Конденсаторы. Емкость плоского конденсатора.
- Энергия заряженного конденсатора. Энергия электрического поля.
- Энергия системы точечных зарядов. Энергия заряженного проводника.
- Проводник в электрическом поле. Распределение заряда в проводнике.





Обзор

3. Диэлектрики. Электрическое смешение (индукция)

- Связь между поляризованностью диэлектрика и объемной плотностью связанных зарядов.
- Связь между поляризованностью диэлектрика и поверхностной плотностью связанного заряда.
- Поле в диэлектрике. Вектор электрического смещения.
- Циркуляция и ротор электрического поля (вектора E и D).
- Теорема Гаусса для вектора электрического смещения (индукции)
- Условия на границе двух диэлектриков (вектора E и D)..





Обзор

4. Электрич<mark>еск</mark>ий ток.

- Опыты, подтверждающие наличие свободных электронов в металлах.
- Сила и плотность тока. Уравнение непрерывности.
- Закон Ома в интегральной и дифференциальной формах.
- Мощность тока. Удельная тепловая мощность тока.
- Закон Джоуля-Ленца в интегральной и дифференциальной формах.
- Закон Ома для неоднородного участка цепи. Правила Кирхгофа.





Обзор

5. Магнитостатика

- Магнитное поле равномерно движущегося заряда. Закон Био-Савара.
- Поле бесконечного прямого тока.
- Поле в центре и на оси кругового тока.
- Поле соленоида
- Теорема Гаусса для вектора магнитной индукции.
- Закон Ампера. Сила взаимодействия параллельных токов.
- Энергия магнитного поля. Плотность энергии.
- Контур с током в однородном и неоднородном магнитном поле (вращательный момент, энергия, сила).





Обзор

6. Магнетики

- Намагниченность магнетика. Связь между намагниченностью и плотностью молекулярных токов.
- Циркуляция и ротор магнитного поля (вектора ${\it B}$ и ${\it H}$).
- Условия на границе двух магнетиков (вектора B и H).
- Магнитные свойства диа-и парамагнетиков
- Магнитные свойства ферромагнетиков.
- Поле соленоида





Обзор

7. Электромагнитная индукция и самоиндукция

- Явление электромагнитной индукции. Правило Ленца. Э.Д.С. ин<mark>дукции.</mark>
- Явление самоиндукции. Индуктивность соленоида.
- Взаимная индукция двух контуров с токами

8. Электродинамика

- Ток смещения. Полный ток.
- Уравнения Максвелла.
- Энергия и плотность энергии электромагнитного поля.

9. Движение заряженных частиц в электрическом и магнитном поле

- Сила, действующая на заряд, движущийся в магнитном поле
- Сила Лоренца.
- Ускорители заряженных частиц (качественно)
- Плазма в магнитном поле (качественно)





Следующая лекция в новом семестре







Электромагнитная индукция



Главное практическое применение электромагнитной индукции — это генерация электроэнергии

Технические детали производства, переработки и передачи электрической энергии на расстояние в были отработаны трудами большого числа изобретателей и инженеров, среди которых такие знаменитые имена, как Никола Тесла, Вернер фон Сименс, Эмилий Христианович Ленц





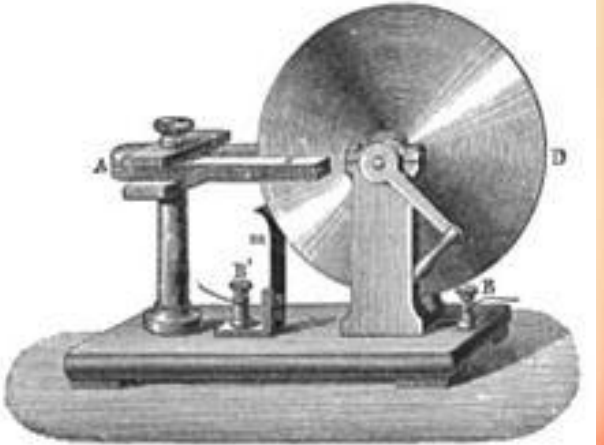
В 1831 году Майкл Фарадей на основе открытого им явления электромагнитной индукции построил генератор электрического напряжения (т.н. «диск Фарадея»). Небольшое напряжение появляется между серединой и периферией медного диска, вращающегося между полюсами подковообразного магнита).

Позже эксперименты показали, что используя вместо диска катушку из многих витков провода, можно получить куда более высокое напряжение.

Катушки стали характерной частью всех последующих генераторов



Michael Faraday 1791-1861



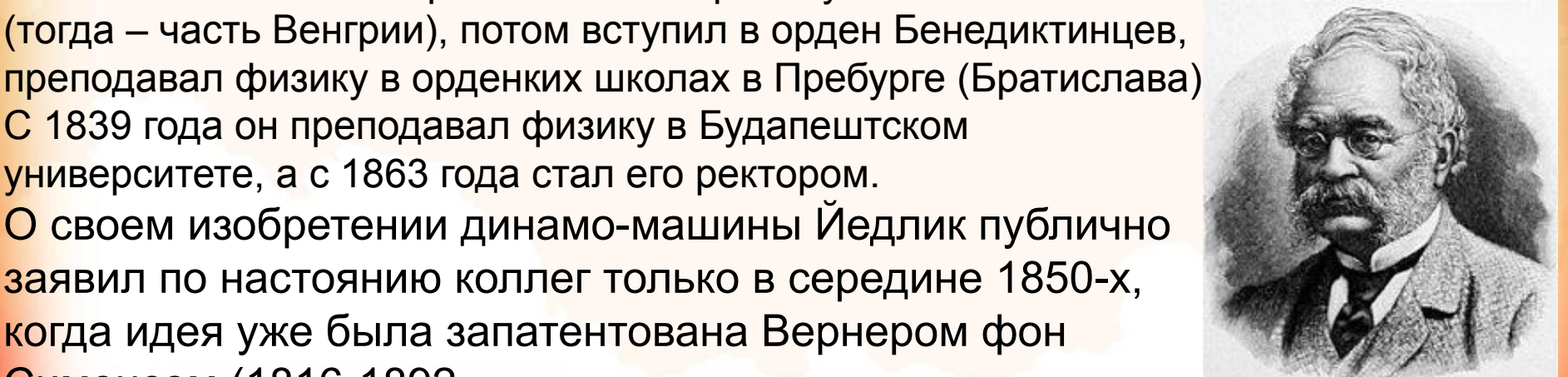


Первый действующий электрогенератор, работающий на принципах электромагнитной индукции, построил в 1827 г. <mark>- е</mark>щё до публик<mark>ац</mark>ии открытий Фараде<mark>я</mark> – монах, физик и <mark>изо</mark>бретатель венгр Иштван Йедлик Он же в 1829 г сконструировал один из первых электродвигателей, в 1840-ые Йедлик спроектировал электро-локомотив, а потом еще (sic!) содовую газировку! Очень скромный человек, Йедлик не публиковал и не <mark>пат</mark>ентовал своих изобретений. Он вырос и учился в Словакии (тогда – часть Венгрии), потом вступил в орден Бенедиктинцев,

университете, а с 1863 года стал его ректором. О своем изобретении динамо-машины Йедлик публично заявил по настоянию коллег только в середине 1850-х, когда идея уже была запатентована Вернером фон Сименсом (1816-1892

С 1839 года он преподавал физику в Будапештском

Jedlik István Ányos 1800-1895



Werner von Siemens 1816-1892

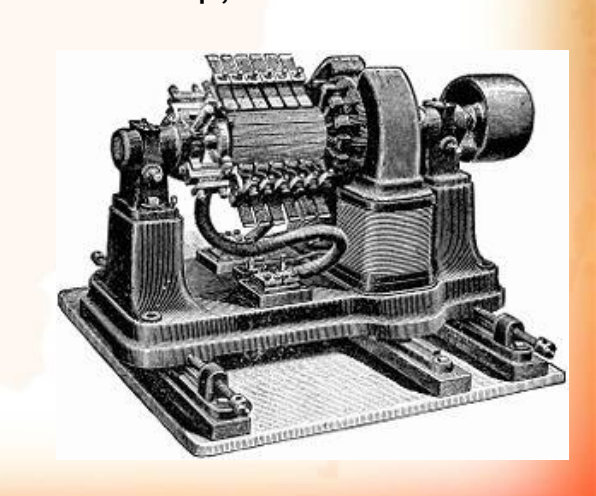


Россиянин Э.Х. Ленц первым дал математичекую формулировку законам электромагнитной индукции. В 1833 году он высказал идею о том, что одна и та же машина может работать и как электродвигатель, если её питать током, и как генератор электротока, если её ротор вращать механически, В 1838 году он сам доказал эту возможность экспериментально.

Стало понятно, что электричество – это не только интересный объект для научного исследования, но может оказаться весьма удобным способом приведения в движение различных механизмов

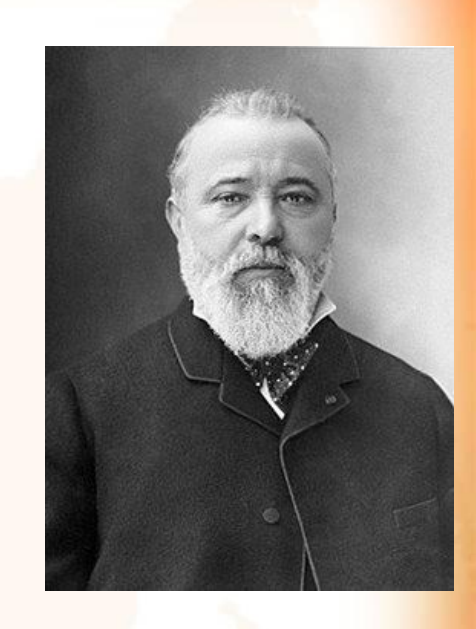


Эмилий Христианови<mark>ч</mark> Ленц ,*1804-1865*





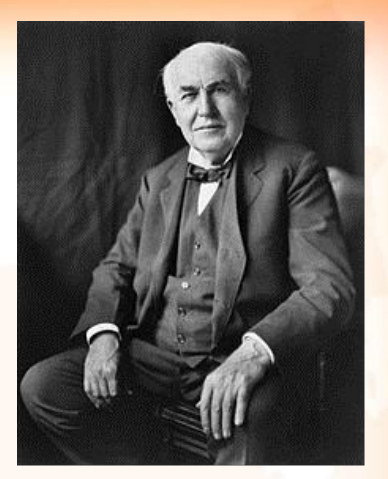
Для получения большой мощности электрогенератора – нужно сильное магнитное поле. В 1830-40-ые годы в динамо-машинах применяли только постоянные магниты. В 1850-60-ые стали делать генераторы с электромагнитами, обмотка которых питалась током от отдельного генератора с постоянными магнитами. В 1860-ые А. Пачинотти и З.Т. Грамм получили патенты <mark>на м</mark>ашины с самовозбуждением, где магнит <mark>зап</mark>итывался током, генерируемым самой машиной. В 1873 году бельгийский инженер З.Т. Грамм продемонстрировал две соединённые проводами ~1км. машины, одна из которых (снабженная двигателем внутреннего сгорания) служила генератором и питала электроэнергией вторую, приводившую в движение насос. Это была эффектная демонстрация возможности практического использования электроэнергии.



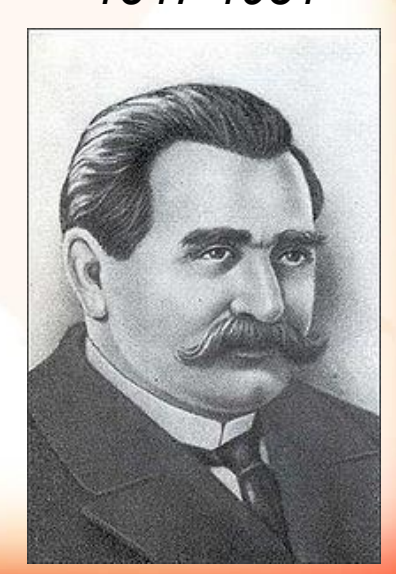
Zénobe-Théophile Gramme, 1826-1901



В 1878 г. изобретатель и бизнесмен Т.А. Эдисон основал компанию «Edisson Electric Light» (позднее - General Electric) по производству и продаже, постоянного электро-тока для систем освещения. Параллельно он совершенствует <mark>не</mark>давно изобретенные лампочки накаливания. (А. Н.Ладыгин, Т.А.Эдиссон, Дж.У.Суон, и др.). К 1879 году Эдисон доводит срок службы <mark>лампочки до ∼12 часов. (сегодня эта цифра кажется</mark> смешной, но альтернативами в те годы были только свечи и керосиновые лампы. Эдисон обещал: «*Мы сделаем* электрическое освещение настолько дешёвым, что только богачи будут жечь свечи».



Thomas Alva Edison 1847-1931



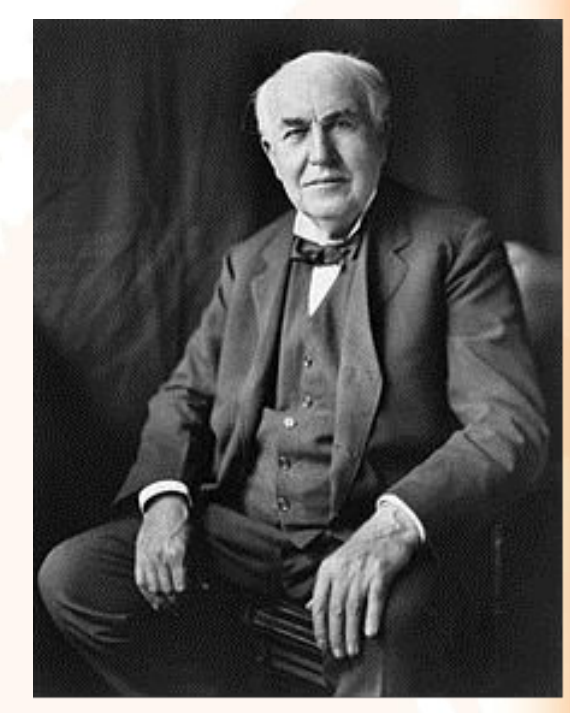
Александр Николаевич Ладыгин, 1847-1923



В 1880 г. Эдисон патентует трехпроводную систему производства и передачи электроэнергии. Три провода - нулевой и два с напряжением ±110 вольт — дают возможность подключить питаемые устройства к разным парам проводов. Это снижает материалоемкость системы.

В январе 1882 года Эдисон запускает первую электростанцию в Лондоне, а в середине года - вторую на Манхэттене, мощностью ~1,5 кВт, освещавшую дом Эдисона и помещения его фирмы.

К 1887 году в США было уже более 100 электростанций постоянного тока, работавших по трёхпроводной схеме Эдисона.

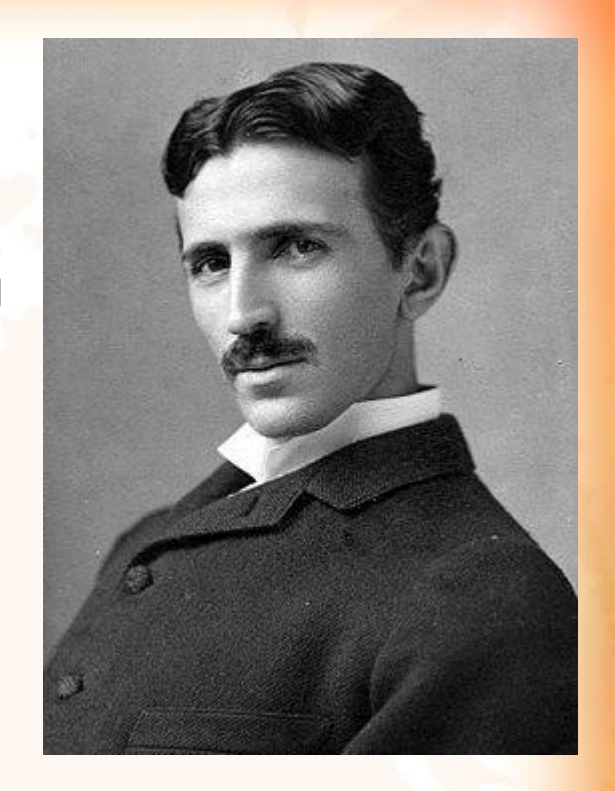


Thomas Alva Edisson 1847-1931



В 1884 году Эдисон нанимает на работу молодого иммигранта из Австро-Венгрии Николу Тесла - специально для доработки генераторов постоянного тока, пообещав выплатить за это (по утверждению Теслы) 50 тыс. долларов. Менее, чем через год Тесла уволился, сочтя что Эдиссон обманул его.

А 1886 году на взятые в долг деньги Тесла открыл свою фирму по производству ламп уличного освещения, и его дела пошли в гору. В 1888 году он арендовал офис на 5-ой авеню в Нью-Йорке, как раз около центрального офиса компании Эдисона. Между изобретателями разгорелась борьба, известная в истории США под названием «Война токов» (The Currents War).



Никола Тесла 1856-1943



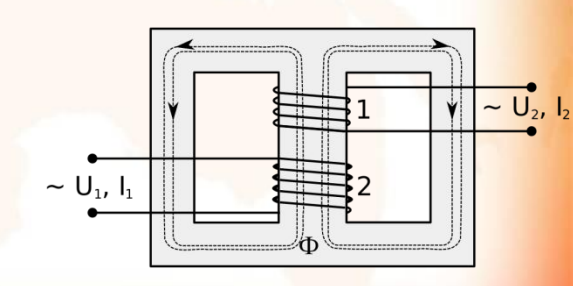
Электростанции Эдисона вырабатывали напряжение, близкое к потребительскому (100-200 В), которое по трехпроводной схеме и доставляли потребителям на удалении не более ~1-1,5 км от электростанции. На больших расстояниях потери на нагрев проводов съедают большую часть произведенной энергии..

$$Q = I^2 R = (P/U)^2 R$$

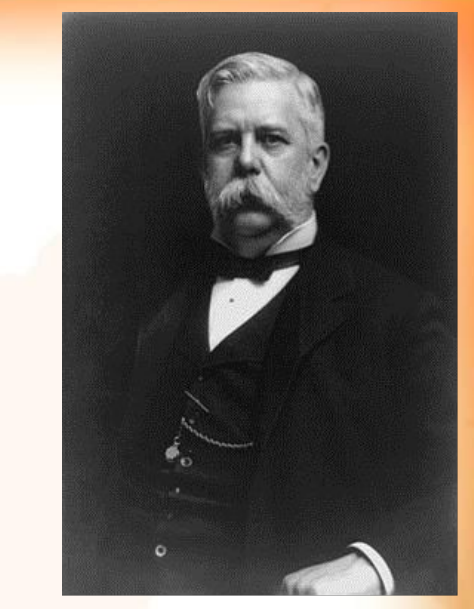
Снизить потери можно снижая сопротивление проводов (делая их толще, т.е. тяжелее и дороже) или повышая напряжение. Менять напряжение постоянного тока на тот момент не умели, а трансформаторы для изменения амплитуды тока переменного уже были изобретены (П.Н.Яблочков, патент 1876ј. Тесла предложил производить ток переменный, передавать по магистральным линиям высокого напряжения (га сотни км), а затем, понизив напряжение, подавать потребителю.



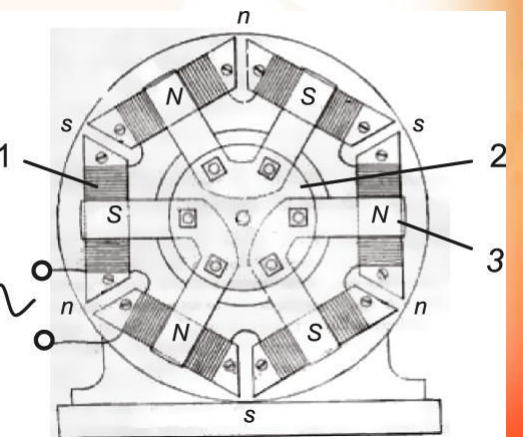
Павел Николаевич Яблочков 1847-1894



.У Эдисона был еще один серьезный конкурент инженер, изобретатель и миллионер Дж. Вестингауз, <mark>кот</mark>орый, неплохо знал физику и понимал, что слабое <mark>звен</mark>о системы Эдиссона - большие по<mark>те</mark>ри мощности в проводах. В 1886 г. Вестингауз построил первую ГЭС, производившую переменный ток в 500В (Грейт-Баррингтон, Массачусетс). Проблема была в отсутствии <mark>электромоторов, способных эффективно работать на</mark> переменном токе. Проблему решил Тесла, который в 1882 году (еще до приезда в США) изобрел многофазный электромотор на переменном токе. В 1888 году он патентует свое изобретение в США и берется за разработку генераторов переменного тока. С 1887 г. Тесла и Вестингауз работают вместе, а Эдиссон ведет ₁ против них компанию «серного пиара»: платит за сплетни об особой опасности переменного тока и за «электрический стул» Г.Брауна, якобы предоставленн Вестингаузом



George Westinghouse 1846-1914





Михаил Осипович

1861-1919

В 1891 году на электротехнической выставке во Франкфурте-на-Майне немецкая компания АЕС демонстрирует линию передачи электрической мощнос около 220 кВт на расстояние 175 км. Сенсационно высокий КПД линии (~ 80 %) был достигнут благодаря применению т.н. трехфазного напряжения, изобретенного русским инженером М. О. Доливо-

Вестингауз приобретает права на использование <mark>тре</mark>хфазной системы и в 1896 году выигрывает тендер на <mark>стр</mark>оительство крупнейшей на ту пору ГЭС на Ниагарском Доливо-Добровольский

водопаде.

Добровольским.

После изобретений Теслы и Доливо-Добровольского, система постоянного тока Эдиссона потерпела поражение даже несмотря на то, что сам Тесла вскоре потерял интерес к этой области исследований и занялся изысканиями в области электромагнитных излучений,



Уже в начале XX века большинство электростанций выдавали именно переменный ток, хотя все еще существовало немало потребителей постоянного тока. Переменный ток для них преобразовывался в постоянный с помощью ртутных выпрямителей.

Но электростанции постоянного тока строились вплоть до 1920-х годов. Хельсинки окончательно перешёл на переменный ток в 1940-х годах, Стокгольм в 1960-х. В США вплоть до конца 1990-х годов существовало более 4 тысяч разрозненных потребителей постоянного тока, и только в ноябре 2007 года было принято решение о прекращении подачи постоянного тока по сетям и главный инженер компании «Консолидейтед Эдисон», которая этим занималась, сам перерезал символический кабель.

Так закончилась знаменитая «войне токов».



Динамика мирового производства электроэнергии (Год — млрд. кВт*ч):

1890 — 9	199 <mark>0 —</mark> 11 800
1900 — 15	2000 — 14 500
1914 — 37,5	2005 — 18 138
1950—950	2007 — 19 895
1960—2300	2013 — 23 127
1970 — 5000	2015 – 23 550
1980 — 8250	2019 - 29 000

Общемировой объем электро-генерирующих мощностей в 2017 году превысил 23 ТВт:

В 2019 году крупнейшими в мире производителями электроэнергии являются Китай (27,8%), Северная Америка (США + Канада – 19 %). Евросоюз (12%), Далее идут Индия (5,8%), Россия (4,1%) и Япония (3,8%). Остальной мир – 27,5%.



Распределение производства электроэнергии по источникам):

Доля	Уголь	Природный газ	ГЭС	АЭС	Нефть	Прочие	Всего
1973 год	38,3 %	12,1 %	20,9 %	3,3 %	24,8 %	0,6 %	6 131 ТВт
2014 год	40,8 %	21,6 %	16,4 %	10,6 %	4,3 %	6,3 %	23 816 ТВт

В 2019 году возобновляемая энергетика (ветер, солнце) выдала 5,3% мирового производства электроэнергии (около 20% европейского производства) и, как казалось, окончательно утвердилась в качестве самого быстрорастущего, основного сектора энергетического рынка. Только в 2017 году было введено в эксплуатацию более 150 ГВт новых мощностей солнечной и ветровой генерации.

Однако, в 2020-21 годы пандемия, климатические и экономические неурядицы заставили усомниться в возможности скорого отказа от углеводородов и атомной энергетики...

